

九州大学工学部 学生員・田端香樹 正員 海田輝文
正員 碇田哲也 正員 乗谷陽一

1. はじめに

底泥からの栄養塩類の溶出は、開墾水域における富栄養化の一要因となっており、早急に解決されなければならぬ課題のひとつである。この問題について、従来、中西等¹⁾、長谷川等²⁾、小山等³⁾の研究があり、NH₄⁺N、PO₄³⁻Pの溶出速度、溶出量、それらの溶出に及ぼす環境因子などについて検討されている。しかしながら、底泥は吸着能を有するなど、その物性は複雑であり、また、潮汐や海流などにより実際の現場では上層水の流動がかなりあり、溶出現象も影響を受けると考えられる。本研究では、底泥に吸着されたNH₄⁺Nの、底泥間隙水中への脱離を考慮した拡散の式を設定し、実測値と比較対照、検討した。さらに、上層水が流動する場合の、流速が溶出速度に及ぼす影響について報告する。

2. 底泥に吸着されたNH₄⁺Nの間隙水中への脱離を考慮した溶出の式

間隙水中のNH₄⁺N濃度をC (g-N/m³)、泥の間隙率をε、泥の単位体積重量をD_mとし、泥の単位質量当りの吸着量g (g-N/g_干-泥)が、平衡濃度に比例する（即ち、g=α·C）とし、αが一定、泥中での微生物による有機態窒素の無機化を無視すれば、拡散方程式は次のようになる。底泥表面より鉛直下向きにzをとり。

$$\left\{ \varepsilon + (1-\varepsilon)\alpha f_s \right\} \frac{\partial C}{\partial z} = \varepsilon D_m \frac{\partial^2 C}{\partial z^2} \quad \dots \dots (1) \quad (\text{ただし } D_m \text{ は } NH_4^+ \text{ の分子拡散係数})$$

これを次の初期条件及び境界条件の下で解く。

$$\left. \begin{array}{l} z=0 : C=C_0, \quad 0 < z < \infty \\ z>0 : C=C_0, \quad z \rightarrow \infty \\ z>0 : C=0, \quad z=0 \end{array} \right\} \rightarrow \frac{C}{C_0} = \operatorname{erf} \left(\frac{z}{2 \sqrt{\frac{\varepsilon}{\varepsilon + (1-\varepsilon)\alpha f_s} \cdot D_m t}} \right) \quad \dots \dots (2)$$

ただし、 $\operatorname{erf}(x) = \frac{2}{\sqrt{\pi}} \int_0^x e^{-t^2} dt$

となり、t時間までに泥の単位面積当り溶出したNH₄⁺N量M (g/m²) は次のようになる。

$$M = \left\{ \varepsilon + (1-\varepsilon)\alpha f_s \right\} \int_0^\infty (C_0 - C) dz = 2 C_0 \sqrt{\frac{\varepsilon + (1-\varepsilon)\alpha f_s}{\pi}} \cdot \varepsilon \cdot D_m \cdot \sqrt{t} \quad \dots \dots (3)$$

3. 実験方法

底泥からのNH₄⁺Nの溶出実験は、図-1に示すアクリル製回転円型水路を行った。底泥として、市販力オリンENGEL HARD ASP 600を使用し、NH₄⁺N源としてNH₄Clを用いた。力オリンの諸物理的値を表-1に示す。力オリンの含水比を調節し、水路床に5cmの厚さごとに敷きつめた後、表層が乱れぬよう静かに水道水 (pH 6.8 含Cl⁻ 20 g/m³) を注入した。このとき、水深は15 cmとした。

実験は、底面剪断力θ=0 (静置)、0.1, 0.3, 0.5, 0.8 (N/m²) の五種について行い、底泥表面から7cm上方の位置ご採水し、上層水

表-1

のNH₄⁺N濃度及びSS濃度の経時変化を追跡した。実験終了時に、スライスカット方式により

| カオリリン | 比重 | 平均粒径 mm | 液性限界 % | 塑性限界 % |
|-----------------------|------|------------|-----------|-----------|
| ENGEL HARD ASP 600 | 2.66 | 0.64 | 65 | 36 |

底泥から試料を採取し、底泥の鉛直方向の含水比分布を測定した。また、この試料を遠心分離し (2500 rpm × 10 min) 間隙水濃度分布を得た。なお、NH₄⁺Nの分析にはイソドフェニルレジオ法を用い、SS測定には0.1 μm × 1 mmブレンフィルターを使用した。また、実験はすべて恒温室 (20°C) にて行った。

4. 結果及び考察

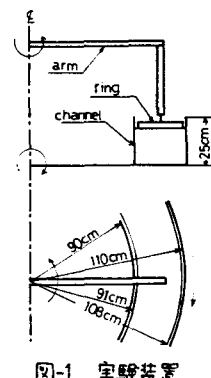


図-1 実験装置

M の時間変化を図-2,3に示す。時刻 $T=0$ で、必ずしも $M=0$ となるといふが、これは、底泥を設置した後、上層水を注入したことによる表層の搅乱に起因する。しかし、ある程度時間が経過すれば、 M は T に比例していることから、(1)式の妥当性が認められる。 $w = 100, 260\%$ における場合、剪断力の増加につれて、溶出速度が増加していることから、流水下では、溶出速度が加速されることが分る。ただし、図-3の $\tau = 0.8 \text{ N/m}^2$ においては、底泥の局所的洗堀が生じた。 $w = 260\%$ における上層水中的SSの増加を図-4に示す。SSが 100 g/m^3 以下の場合、巻き上った泥の NH_4^+ -N吸着量は 0.054 g/kg であり、これがすべて上層水中に脱離しても、上層水中の NH_4^+ -N濃度の増加は 10^{-3} g/m^3 程度であり無視できる。

図-5,6に間隙水中の NH_4^+ -N濃度分布を示す。界面下 1 cm 以下では、実線で示した、(2)式より求めた解曲線に双方ともよく一致している。しかし、界面下 $数 \text{ mm}$ のところでは、濃度勾配は小さくなっている。静置の場合にもこの現象が見られるので、流水の影響とは考えられず、測定誤差がないと思われる。この界面下における濃度勾配の減少の影響を検討するために、底泥間隙水中的界面下 1 cm 以上の濃度分布に合うように定めた見かけの拡散係数 D_a と、上層水中に溶出した NH_4^+ -Nの実測値に合うように定めた見かけの拡散係数 D'_a を表-2に示す。その差はたかだか2割である。したがって、この界面直下の濃度勾配の減少は、溶出速度に大きな影響を与えないないと考えられる。以下、この点は考慮しないこととする。理想的には、間隙水中的拡散係数は分子拡散係数と等しくなるはずである。また、底泥の構造が等方性であれば、含水率が任意断面ににおける空隙率と一致する。しかし、一般に粘土粒子は偏平であるため、水平断面における空隙率は、含水率に一致しないのが普通である。このため $D_a = D'_a \cdot \beta$ として β の値を求め、表-2に示す。この β は、底泥表層上における僅かな流体運動によっても影響を受ける可能性がある。 β の値は、 τ の増加につれて増し、その割合は $\beta \propto \exp(\tau)$ の傾向にある。

今後、底泥界面直下の濃度勾配の減少機構の解明、見かけの拡散係数の分子拡散係数に対する割合についての物理的な意味、流水下における見かけの拡散係数增加機構の解明等、検討を継続していく予定である。

表-2

| $w(\%)$ | $\tau(\text{N/m}^2)$ | D_a | D'_a | β |
|---------|----------------------|----------------------|--------------------|---------|
| 100 | 0 | 2.3×10^{-4} | 3×10^{-6} | 0.44 |
| | 0.3 | 2.3 | 3 | 0.42 |
| | 0.5 | 2.5 | 4 | 0.46 |
| 260 | 0 | 4.0 | — | 0.89 |
| | 0.1 | 4.2 | 4 | 0.94 |
| | 0.3 | 4.2 | 5 | 0.94 |
| | 0.5 | 7.0 | 6 | 1.56 |
| | 0.8 | 22 | — | 4.91 |

参考文献 1) 深田、中西、又三

富栄養化水による底質汚濁に関する研究(2) 1973.1.16~18

2) 高橋川清

河川及び河口の底泥からの栄養塩類の溶出、工芸資料第16号

3) 小山昌也郎

底泥堆積物の物質変化の機理に関する生物地化的観察

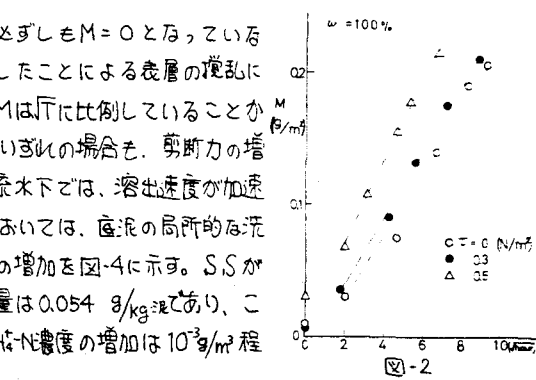


図-2

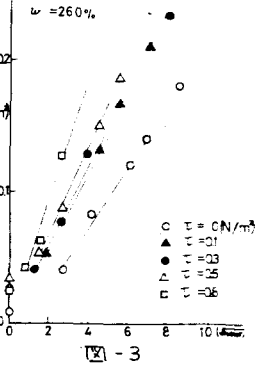


図-3

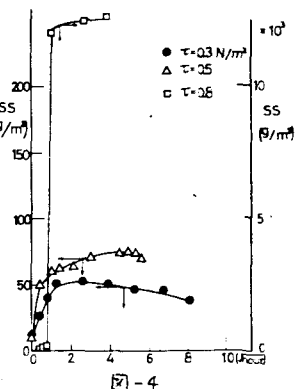


図-4

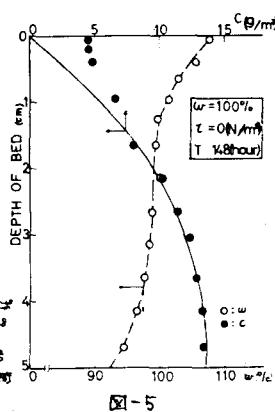


図-5

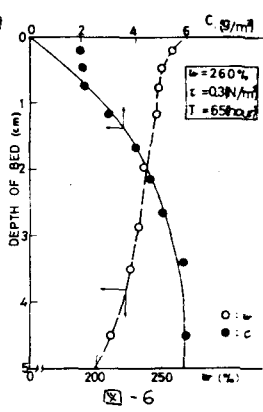


図-6